
量子渦生成にともなう 超流動崩壊の前駆現象

Reference : arXiv:1305.3935.

2013/8/27

熱場の量子論とその応用

東京大学総合文化研究科

國見昌哉

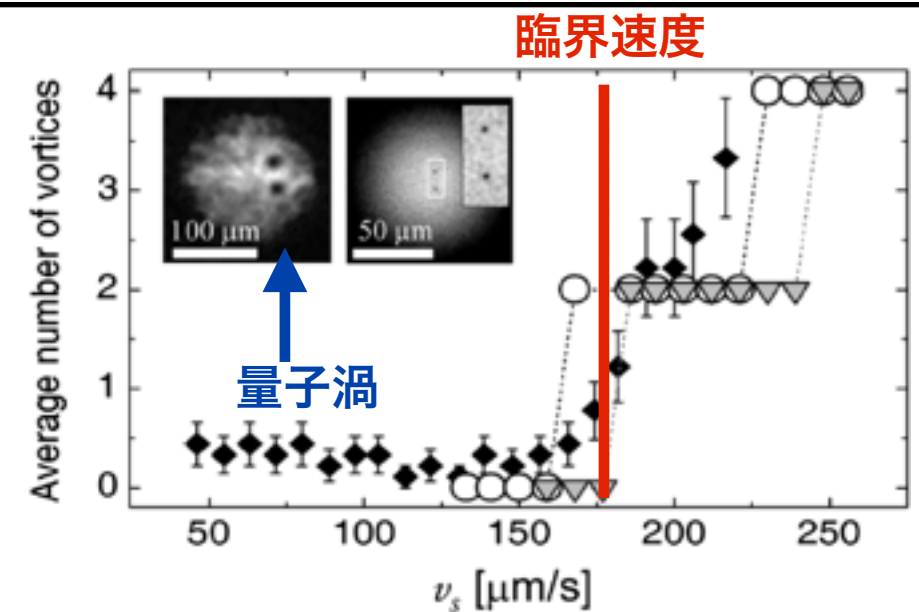
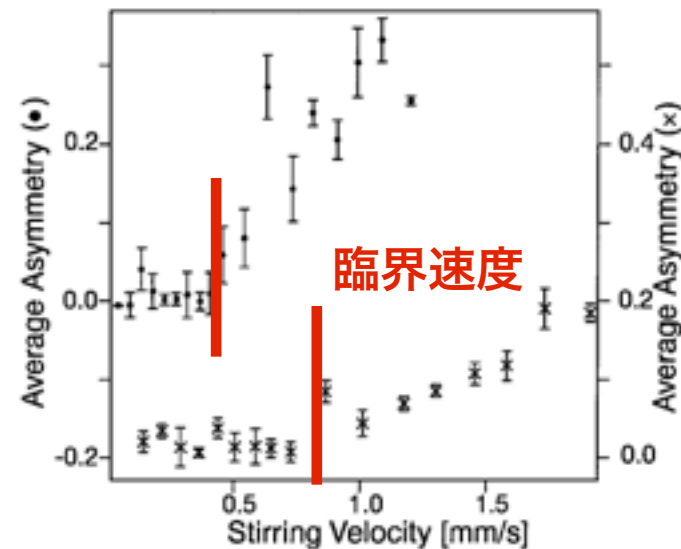
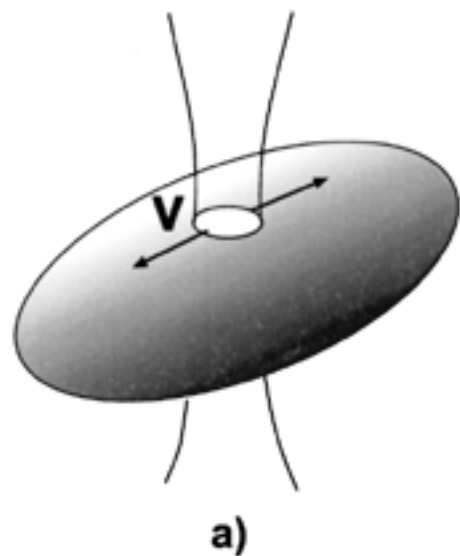
共同研究者：加藤雄介(東大総合文化)

Introduction -臨界速度- 1/5

超流動状態=粘性ゼロの無散逸流がある状態
ただし、上限の速度(=**臨界速度**)がある。

臨界速度以上では**量子渦**が発生し、超流動状態が壊れる。

冷却原子系における臨界速度の観測実験



C. Raman, et al., Phys. Rev. Lett. **83**, 2502 (1999).

R. Onofrio, et al., Phys. Rev. Lett. **85**, 2228 (2000).

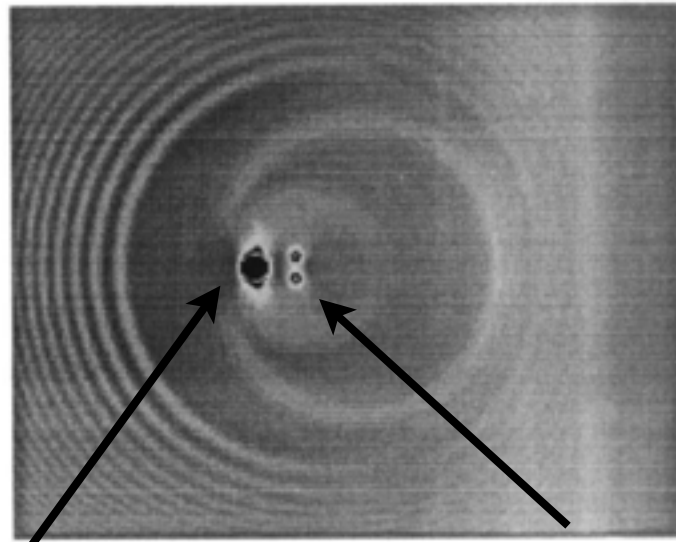
T. W. Neely, et al., Phys. Rev. Lett. **104**, 160401 (2010).

Introduction -理論- 2/5

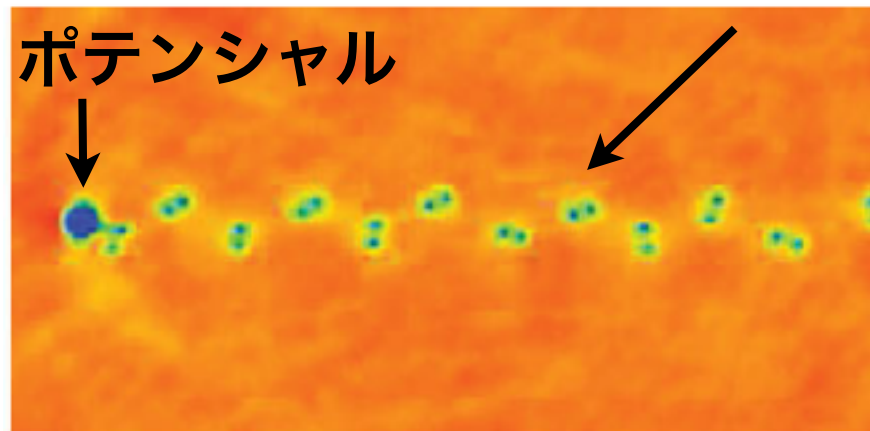
臨界速度以上における理論研究

- Gross-Pitaevskii方程式の数値シミュレーションが中心
- 臨界速度以上における多彩な非線形ダイナミクス

T. Frisch et al., Phys. Rev. Lett. **69**, 1644 (1992).

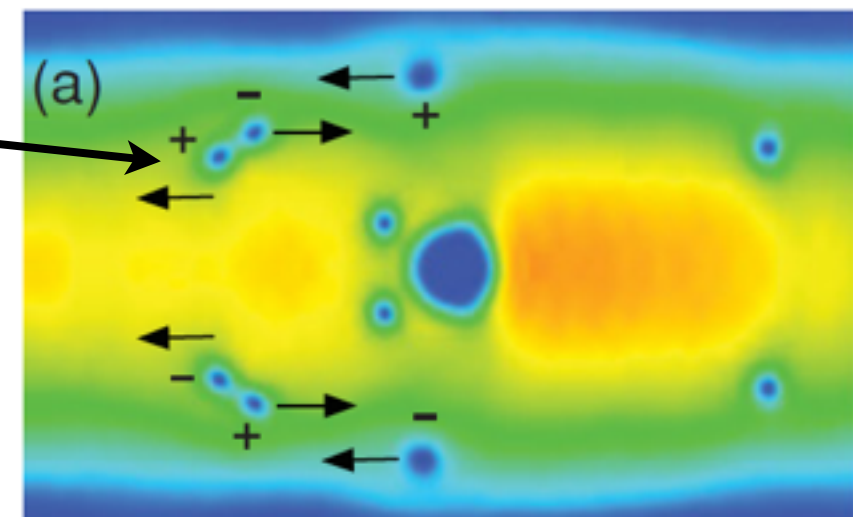
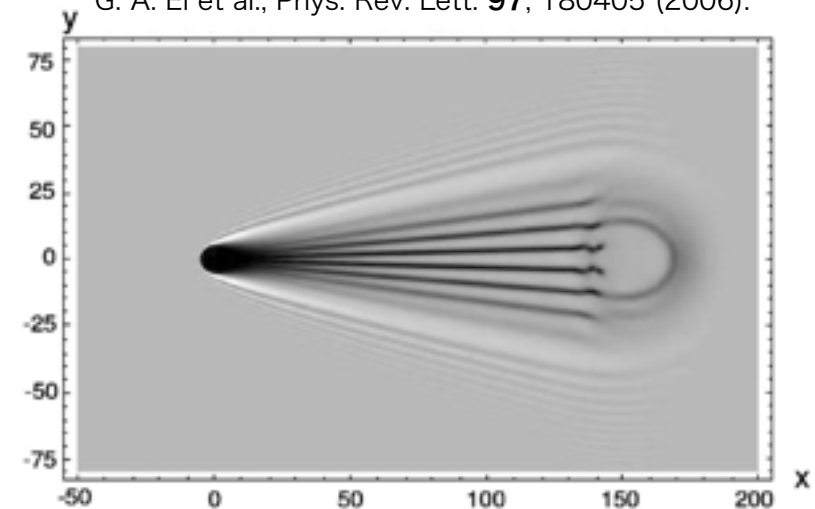


量子渦



K. Sasaki, N. Suzuki, and H. Saito, Phys. Rev. Lett. **104**, 150404 (2010).

G. A. El et al., Phys. Rev. Lett. **97**, 180405 (2006).

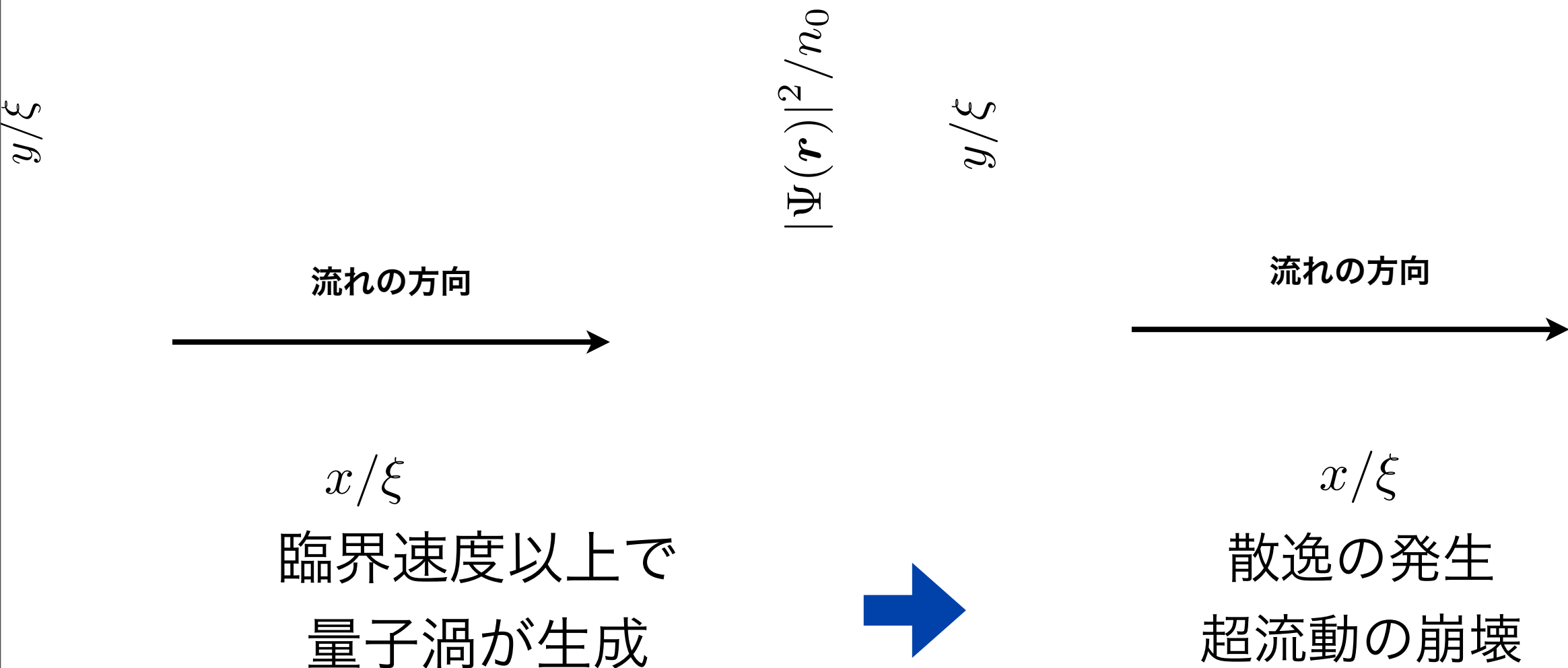


K. Fujimoto and M. Tsubota, Phys. Rev. A, **83**, 053609 (2011).

Introduction -理論- 3/5

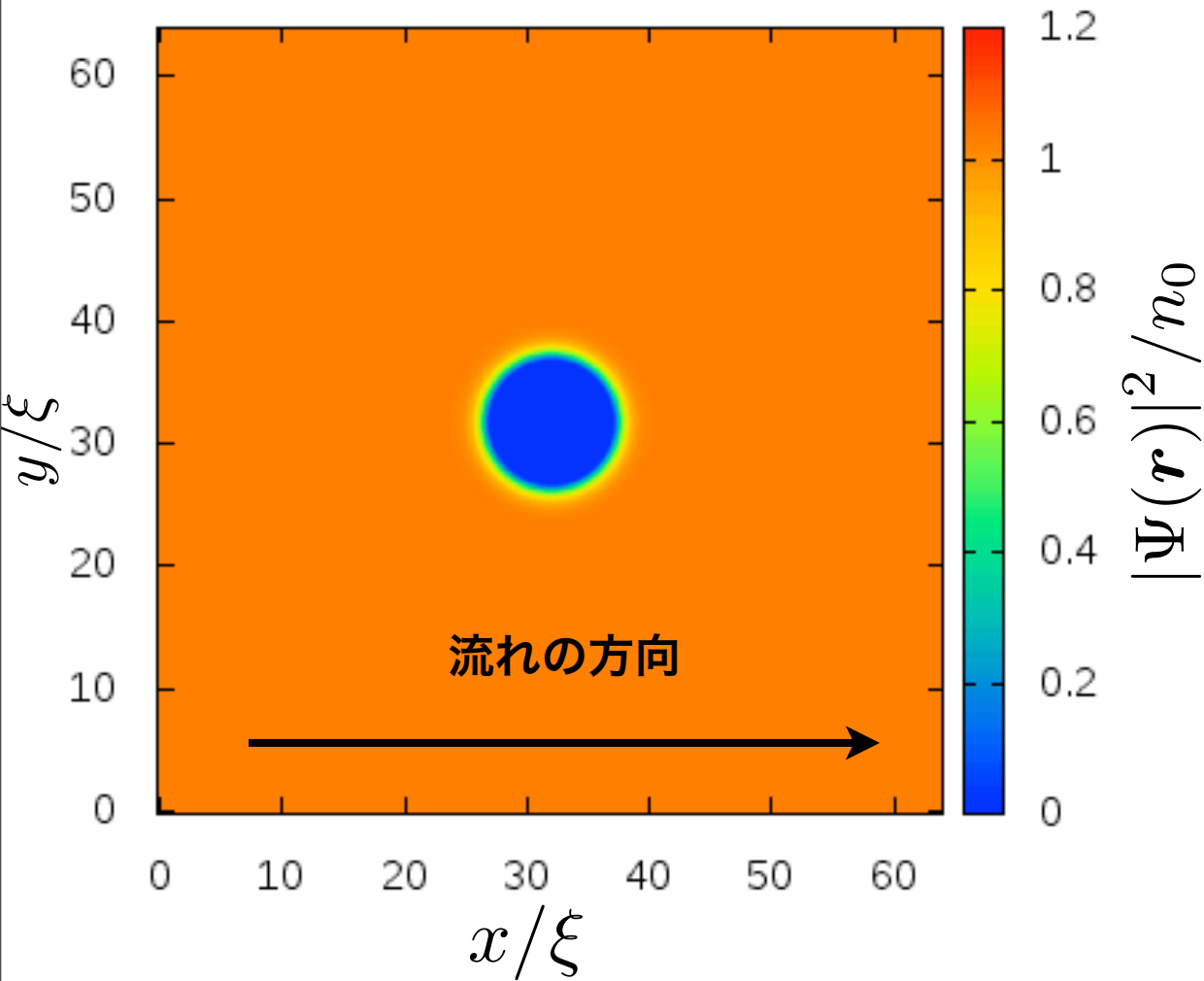
凝縮体密度の時間発展
(臨界速度以下)

凝縮体密度の時間発展
(臨界速度以上)

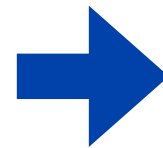


Introduction -理論- 3/5

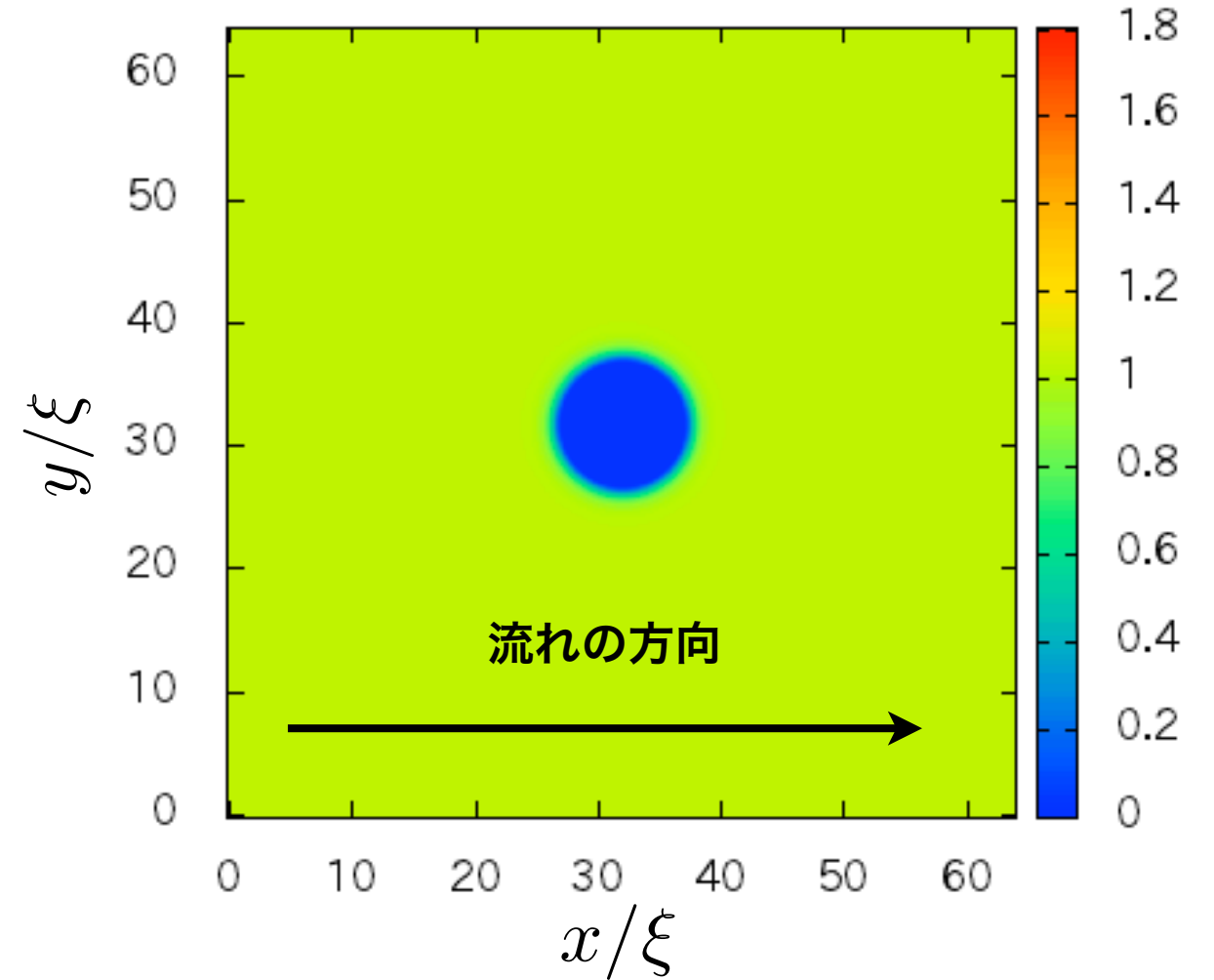
凝縮体密度の時間発展
(臨界速度以下)



臨界速度以上で
量子渦が生成



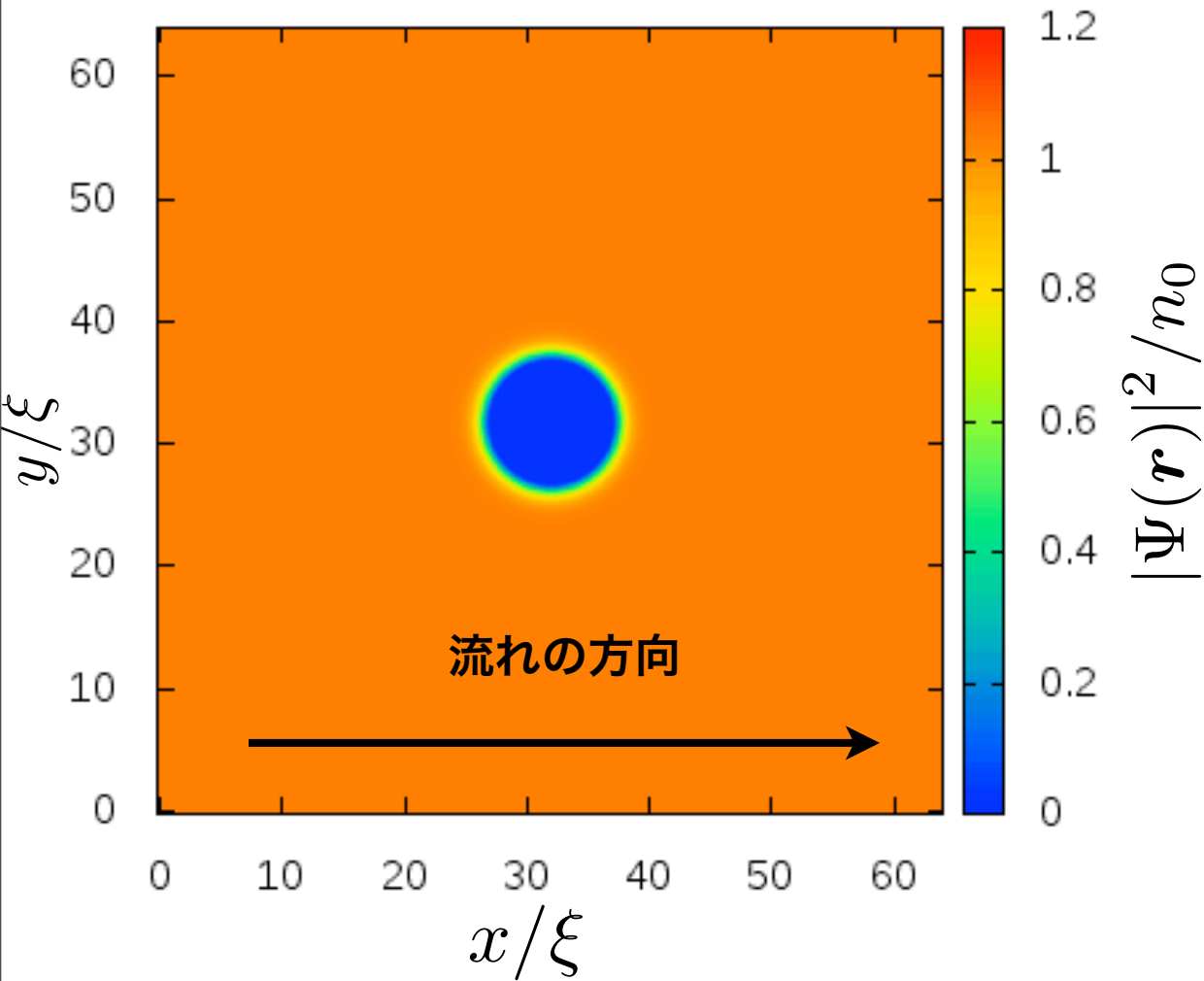
凝縮体密度の時間発展
(臨界速度以上)



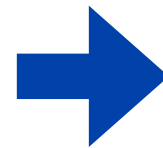
散逸の発生
超流動の崩壊

Introduction -理論- 3/5

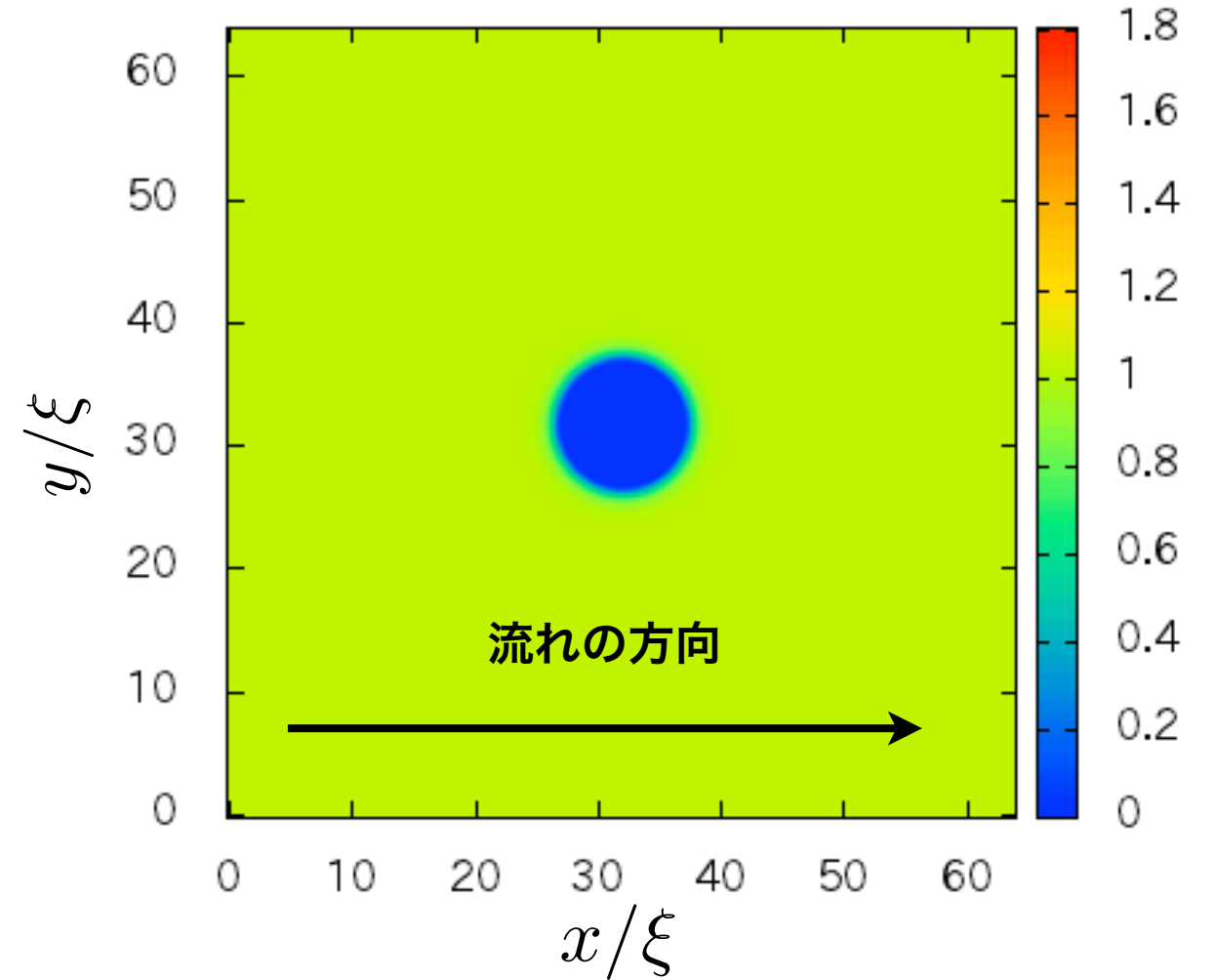
凝縮体密度の時間発展
(臨界速度以下)



臨界速度以上で
量子渦が生成



凝縮体密度の時間発展
(臨界速度以上)



散逸の発生
超流動の崩壊

Introduction -超流動の不安定化- 4/5

超流動流が不安定化

➔ 励起状態の異常性として現れる

ランダウ不安定性

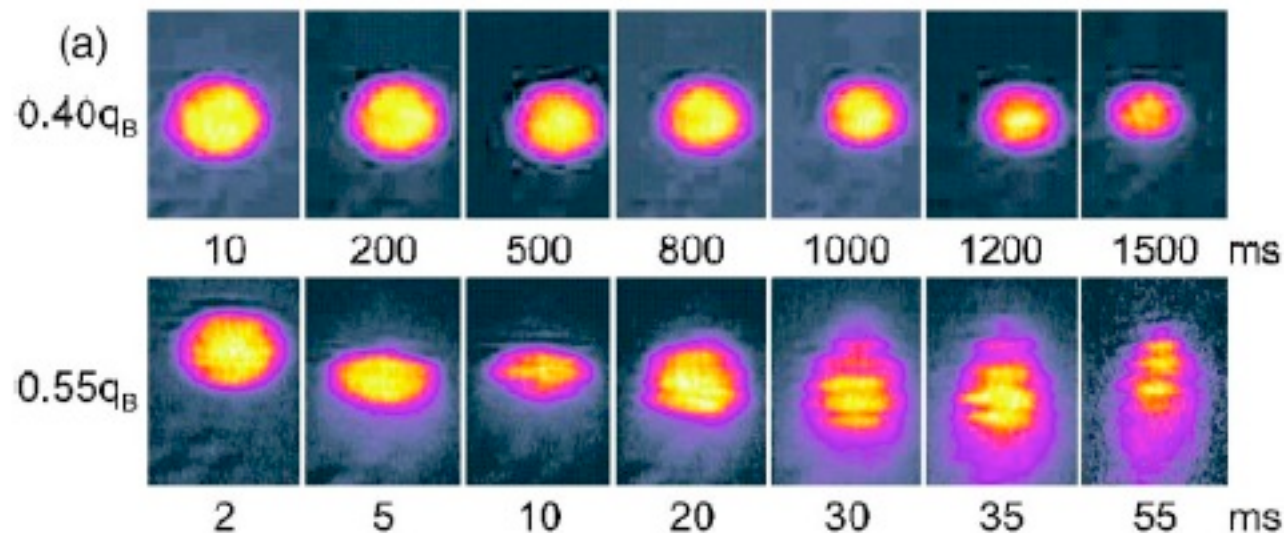
$$\text{Re}(\epsilon) < 0$$

動的不安定性

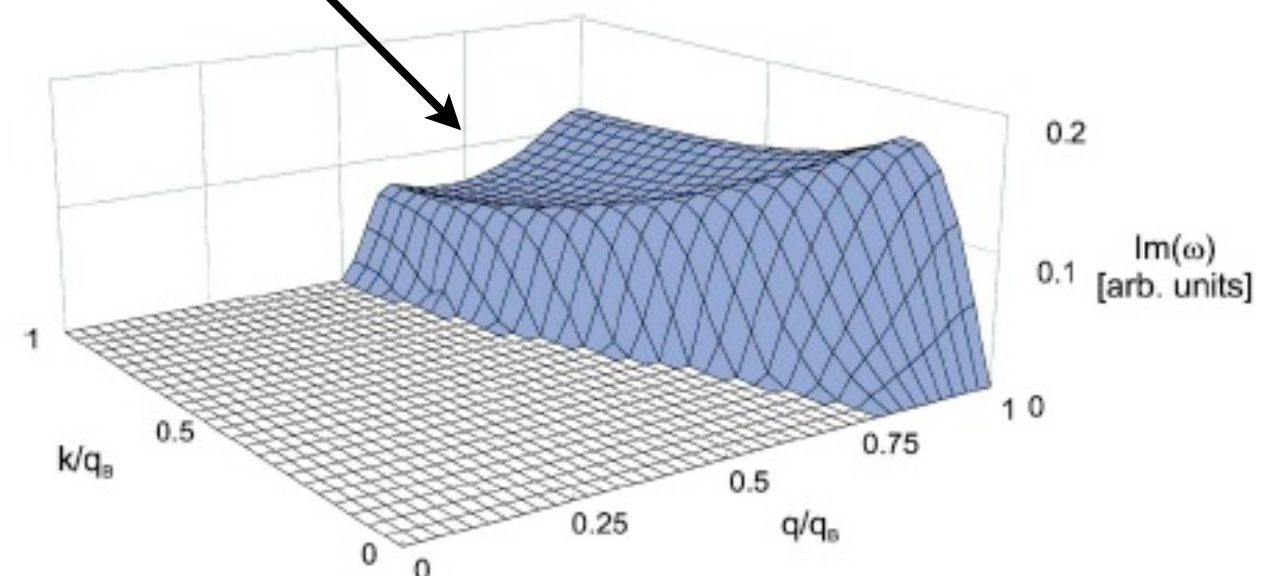
$$\text{Im}(\epsilon) \neq 0$$

ϵ : 励起スペクトル

↓ 光学格子を動かす実験



L. De Sarlo, et al., Phys. Rev. A **72**, 013603 (2005).



Introduction -Motivation- 5/5

モチベーション

量子渦が発生するときの励起状態の解析。
超流動が壊れる直前に何が起きているのか？

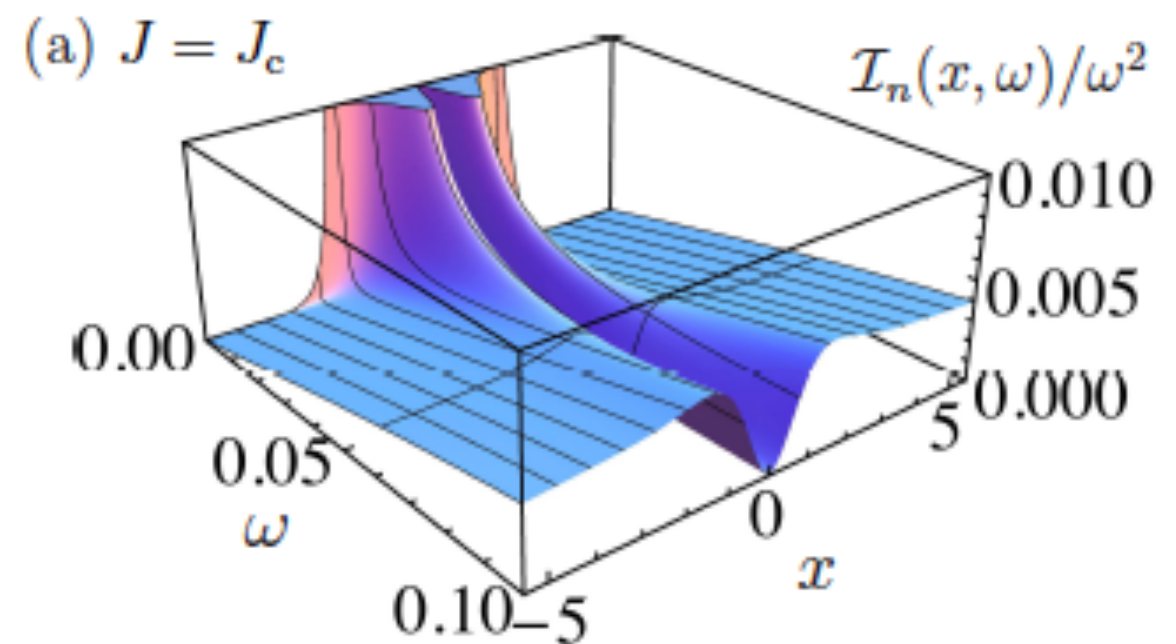
➔ 臨界速度近傍の励起状態やゆらぎの解析

● 超流動の不安定化

- 励起スペクトルの異常性
- ランダウ不安定性、動的不安定性

● ソリトン発生(1D)の前駆現象

- 局所動的密度ゆらぎの増大



S. Watabe and Y. Kato, arXiv:1305.6984 (2013).

Model 1/3 : Gross-Pitaevskii 方程式

(2D)Gross-Pitaevskii(GP)方程式

$$i\hbar \frac{\partial}{\partial t} \Psi(\mathbf{r}, t) = -\frac{\hbar^2}{2m} \nabla^2 \Psi(\mathbf{r}, t) + U(\mathbf{r} + \mathbf{v}t) \Psi(\mathbf{r}, t) + g |\Psi(\mathbf{r}, t)|^2 \Psi(\mathbf{r}, t)$$

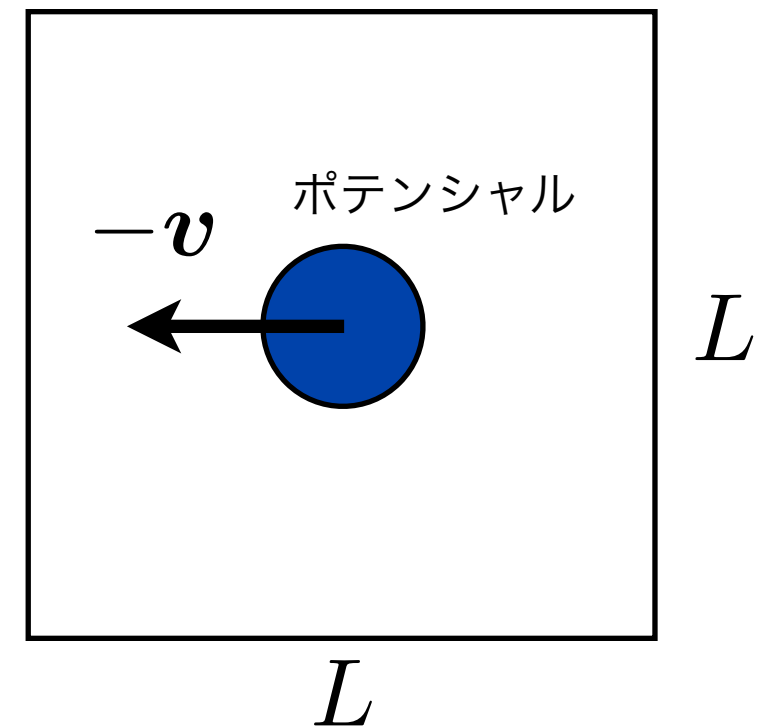
$\Psi(\mathbf{r}, t) = \sqrt{n(\mathbf{r}, t)} e^{i\varphi(\mathbf{r}, t)}$: 凝縮体波動関数(BECのorder parameter)

$n(\mathbf{r}, t) = |\Psi(\mathbf{r}, t)|^2$: 局所粒子数密度

$\mathbf{v}(\mathbf{r}, t) = \frac{\hbar}{m} \nabla \varphi(\mathbf{r}, t)$: 速度場

$U(\mathbf{r}) = U_0 \exp[-(\mathbf{r}/d)^2]$: ポテンシャル

境界条件 : $\Psi(\mathbf{r} + L\mathbf{e}_x, t) = \Psi(\mathbf{r}, t)$
 $\Psi(\mathbf{r} + L\mathbf{e}_y, t) = \Psi(\mathbf{r}, t)$



Model 2/3 : Gross-Pitaevskii 方程式

超流動状態=散逸無し

エネルギーの時間変化

$$\frac{dE(t)}{dt} = \mathbf{v} \cdot \int d\mathbf{r} \nabla U(\mathbf{r} + \mathbf{v}t) |\Psi(\mathbf{r}, t)|^2$$

$$E(t) \equiv \int d\mathbf{r} \left[\frac{\hbar^2}{2m} |\nabla \Psi(\mathbf{r}, t)|^2 + U(\mathbf{r} + \mathbf{v}t) |\Psi(\mathbf{r}, t)|^2 + \frac{g}{2} |\Psi(\mathbf{r}, t)|^4 \right]$$

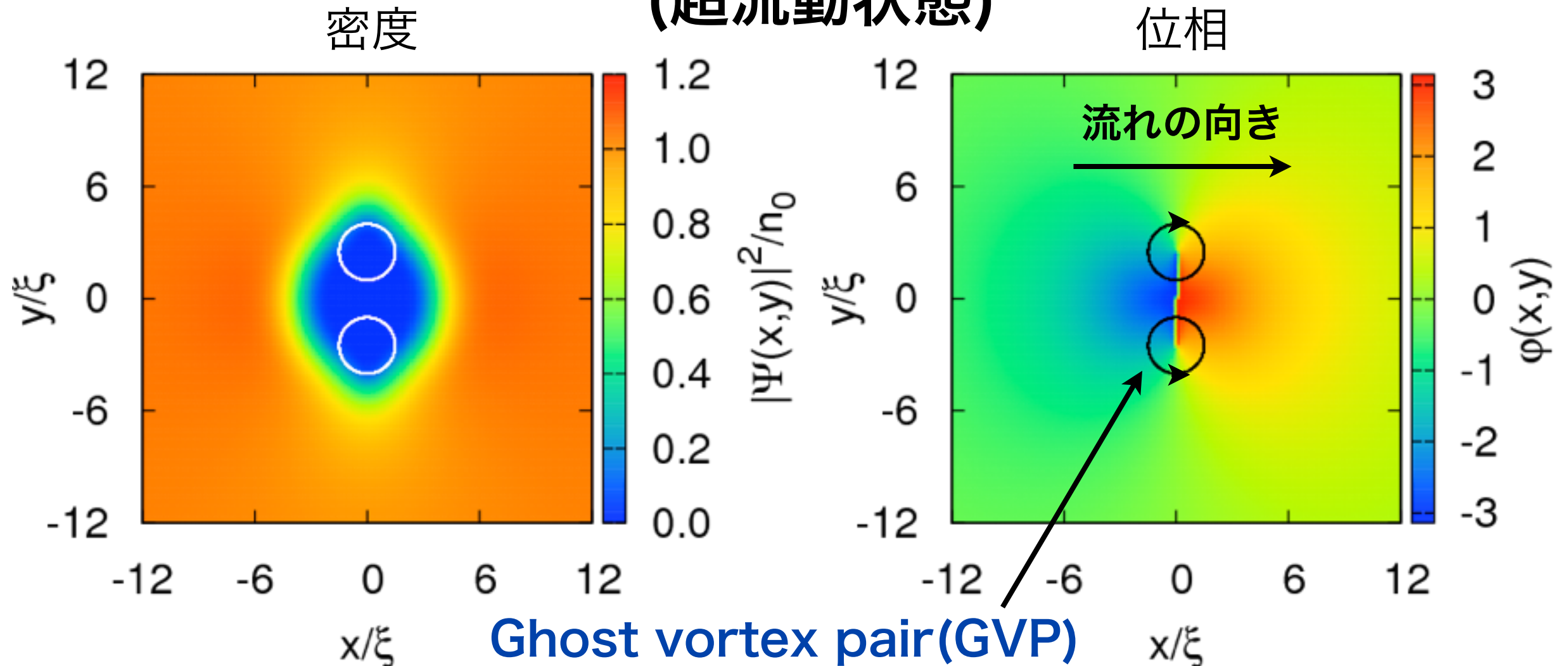
$\Psi(\mathbf{r}, t) = \Psi(\mathbf{r} + \mathbf{v}t)$ であれば $\frac{dE(t)}{dt} = 0$ (運動量保存則より)

↓
ポテンシャルと共に動く座標系における定常解

Results : Ghost vortex pair

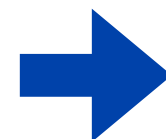
$$U_0 = 5\hbar^2/m\xi^2$$

臨界速度近傍のGP方程式の安定定常解
(超流動状態)



K. Kasamatsu, M. Tsubota, and M Ueda,
Phys. Rev. A, **67**, 033610 (2003).

臨界速度以上ではGVPが
depinningする。



散逸の発生、超流動の崩壊

Results : Excitation energy

$$L = 32\xi \quad d = 2.5\xi$$

$$U_0 = 10\epsilon_0 \quad d = 2.5\xi$$

$$v_s = \sqrt{gn_0/m}$$

音速

ポテンシャル無いときのスペクトル： $\epsilon_{\mathbf{k},\nu} = \hbar\mathbf{k} \cdot \mathbf{v} + \sqrt{\epsilon_{\mathbf{k}}^0(\epsilon_{\mathbf{k}}^0 + 2gn_0)}$

エネルギーギャップの
スケーリング則

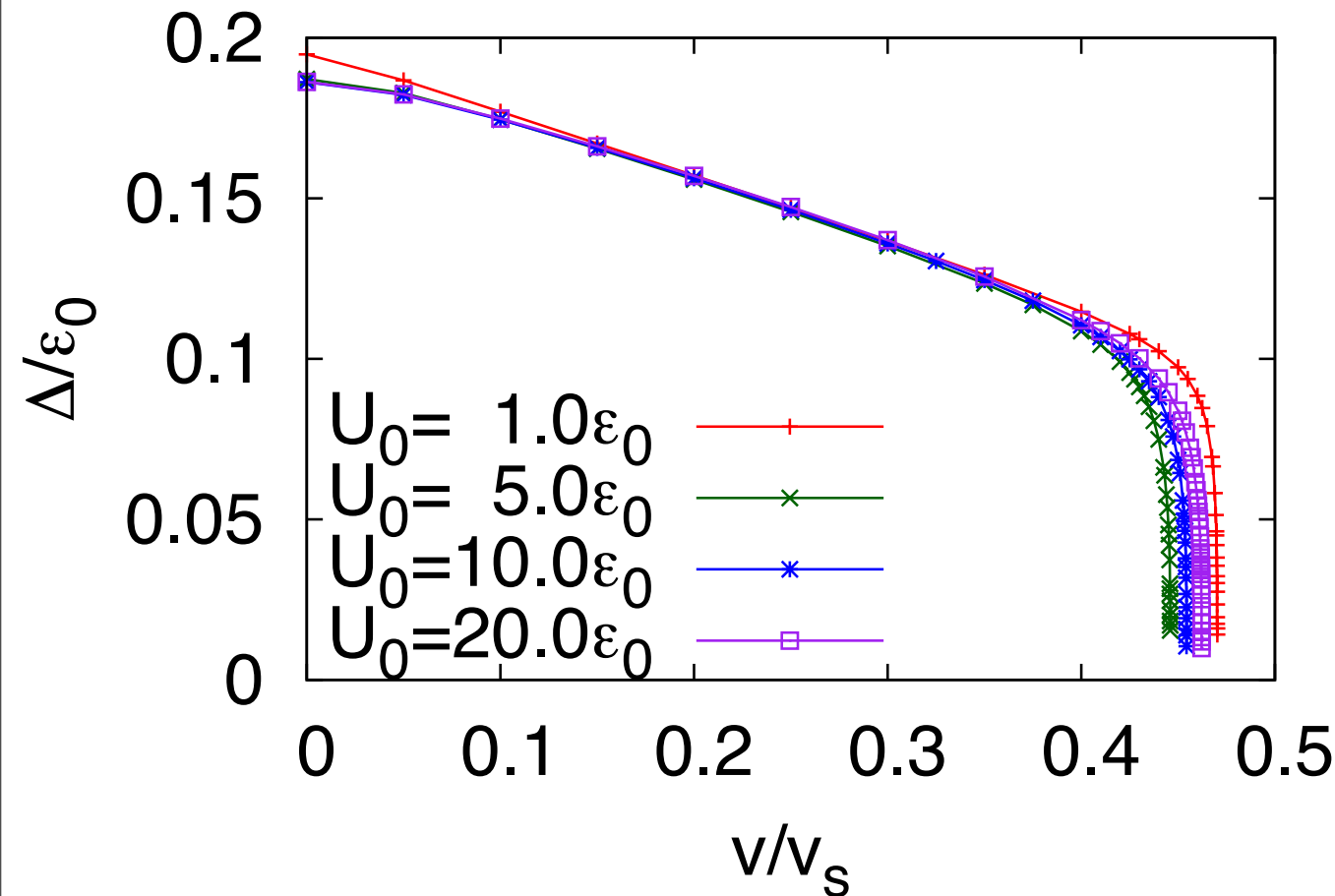
$$\Delta = \Delta_0 |(v_c - v)/v_c|^{1/4}$$



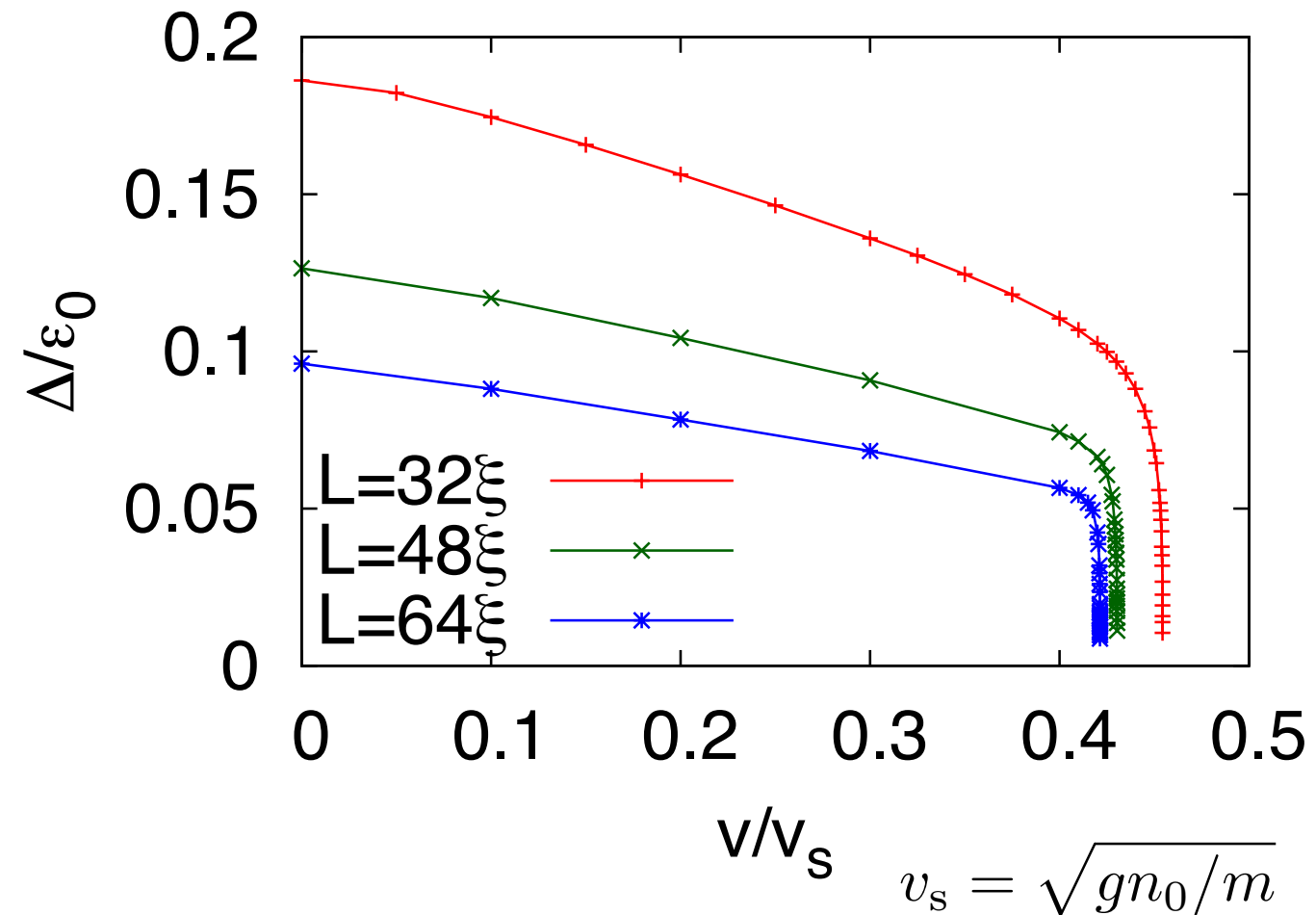
特徴的時間スケールの発散

Results : Excitation energy

$$L = 32\xi \quad d = 2.5\xi$$



$$U_0 = 10\epsilon_0 \quad d = 2.5\xi$$



$$v_s = \sqrt{gn_0/m}$$

音速

ポテンシャル無いときのスペクトル： $\epsilon_{\mathbf{k},\mathbf{v}} = \hbar\mathbf{k} \cdot \mathbf{v} + \sqrt{\epsilon_{\mathbf{k}}^0(\epsilon_{\mathbf{k}}^0 + 2gn_0)}$

エネルギーギャップの
スケーリング則

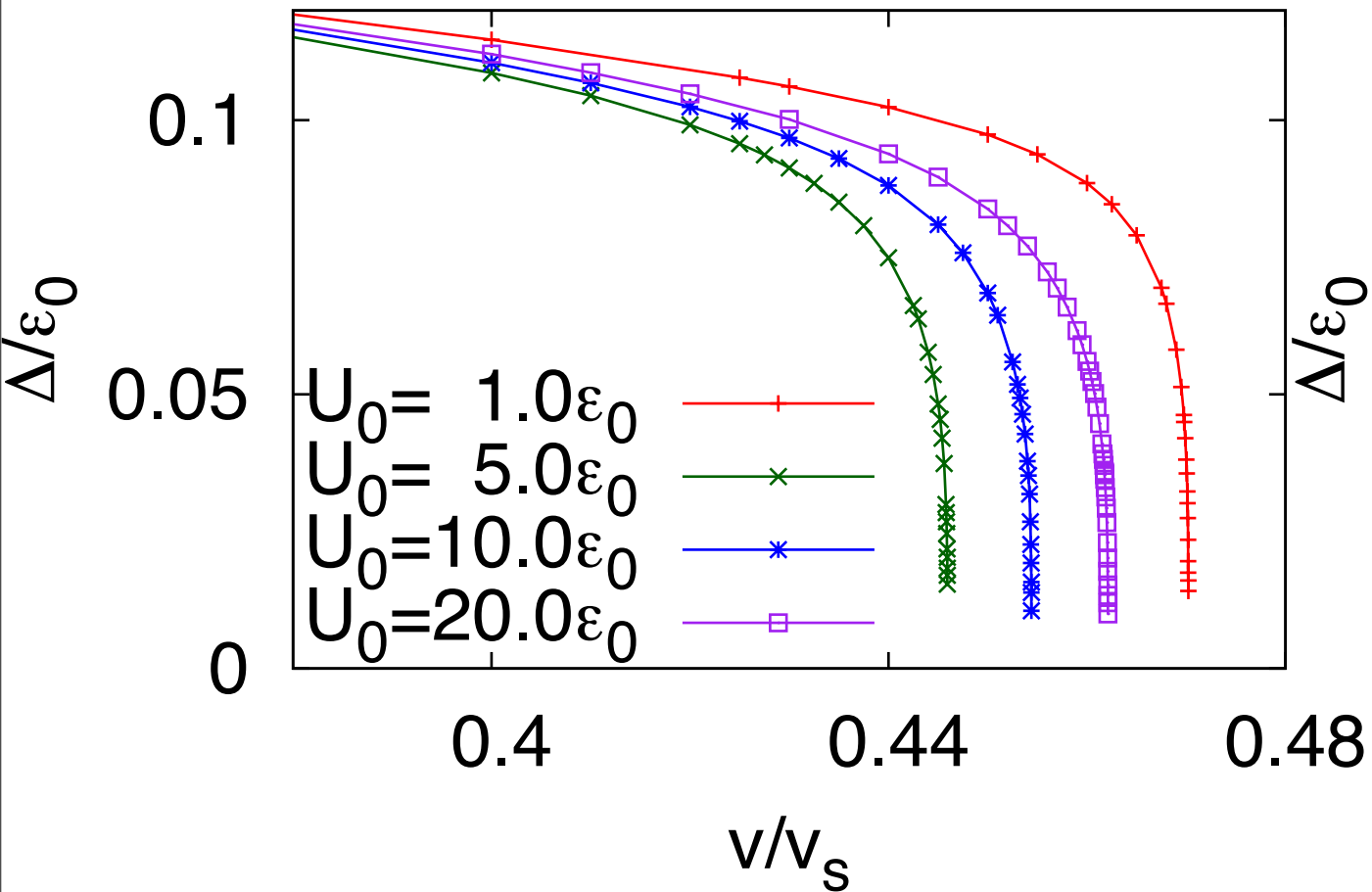
$$\Delta = \Delta_0 |(v_c - v)/v_c|^{1/4}$$



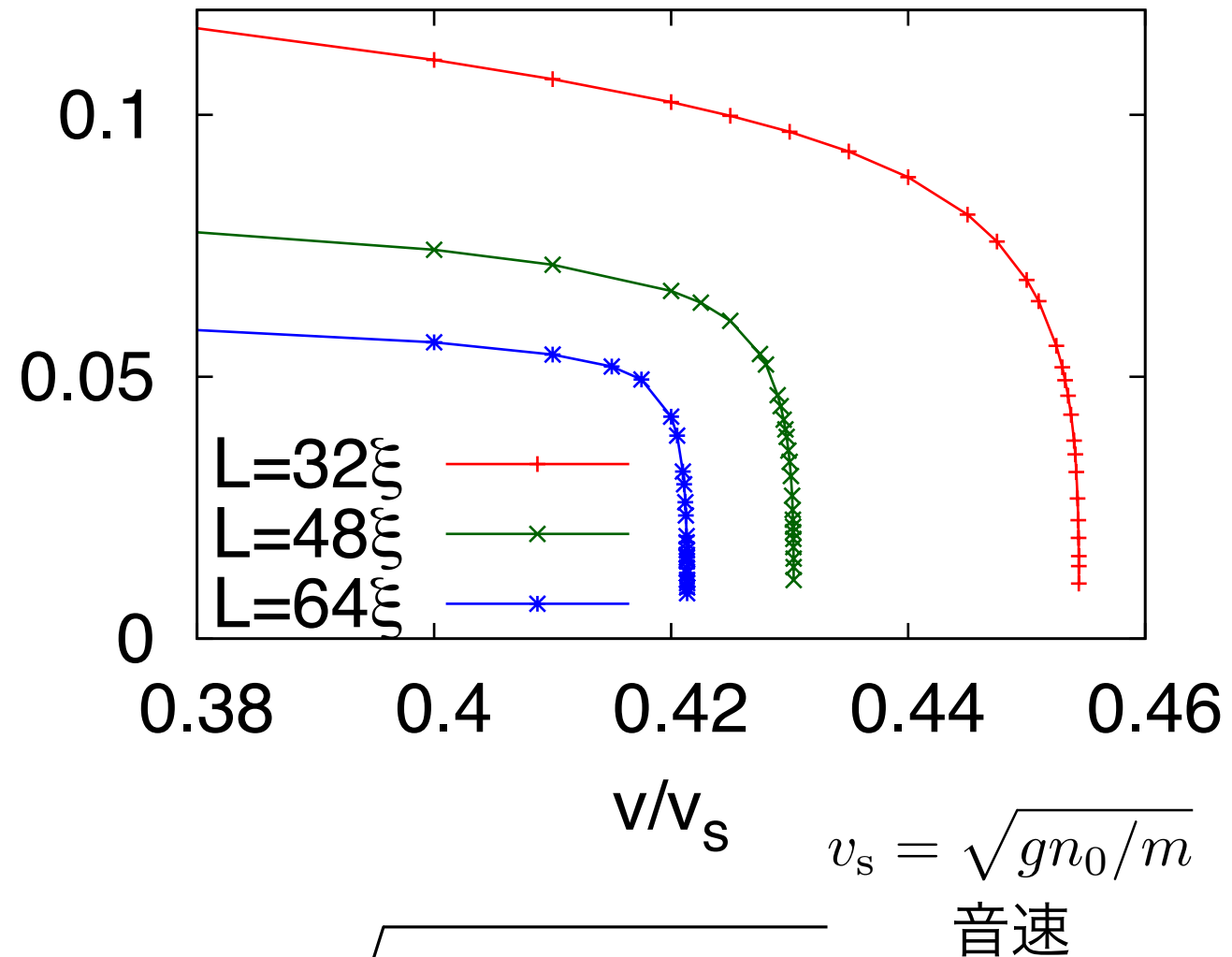
特徴的時間スケールの発散

Results : Excitation energy

$$L = 32\xi \quad d = 2.5\xi$$



$$U_0 = 10\epsilon_0 \quad d = 2.5\xi$$



ポテンシャル無いときのスペクトル: $\epsilon_{\mathbf{k},\mathbf{v}} = \hbar\mathbf{k} \cdot \mathbf{v} + \sqrt{\epsilon_{\mathbf{k}}^0(\epsilon_{\mathbf{k}}^0 + 2gn_0)}$

エネルギーギャップの
スケーリング則

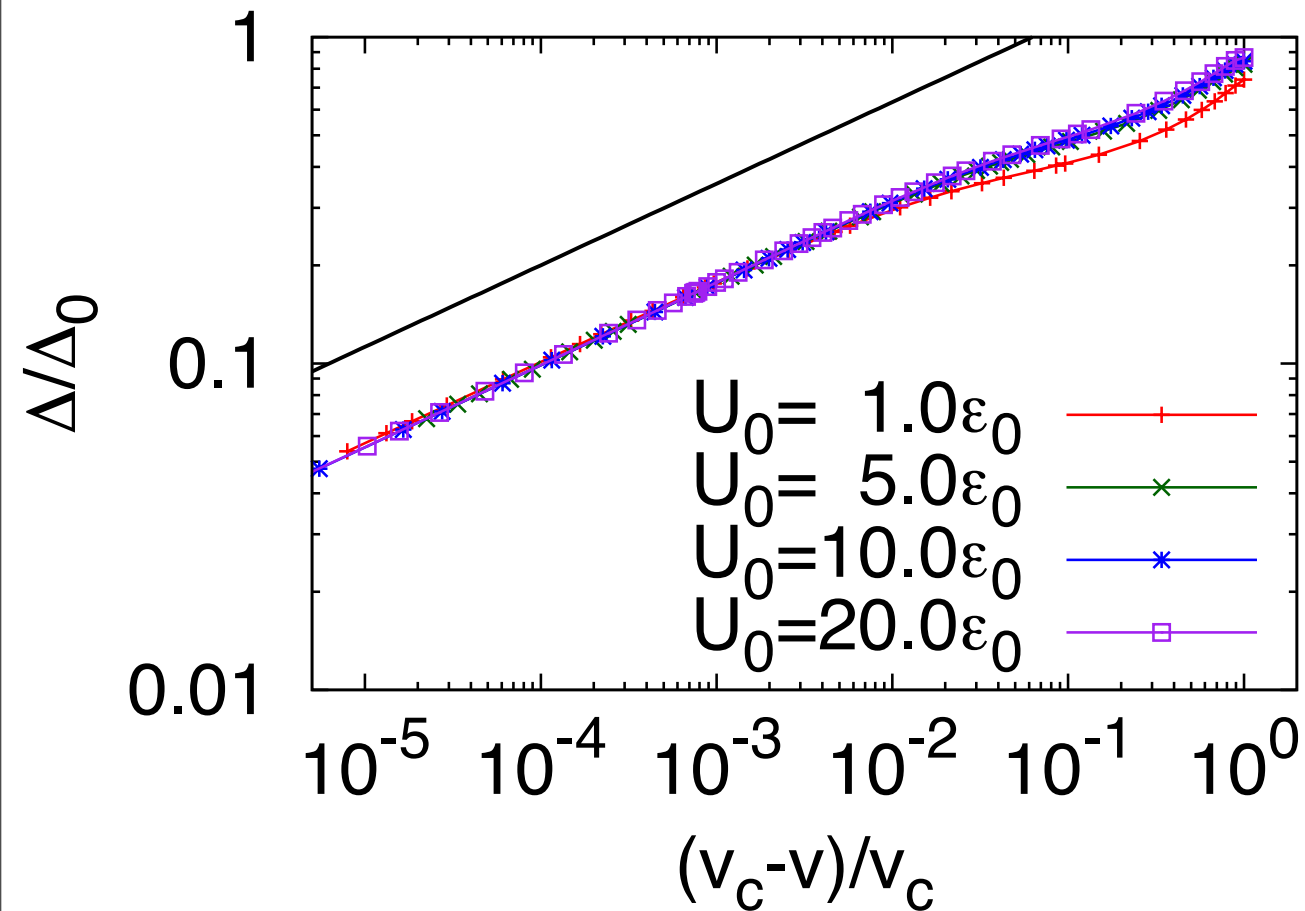
$$\Delta = \Delta_0 |(v_c - v)/v_c|^{1/4}$$



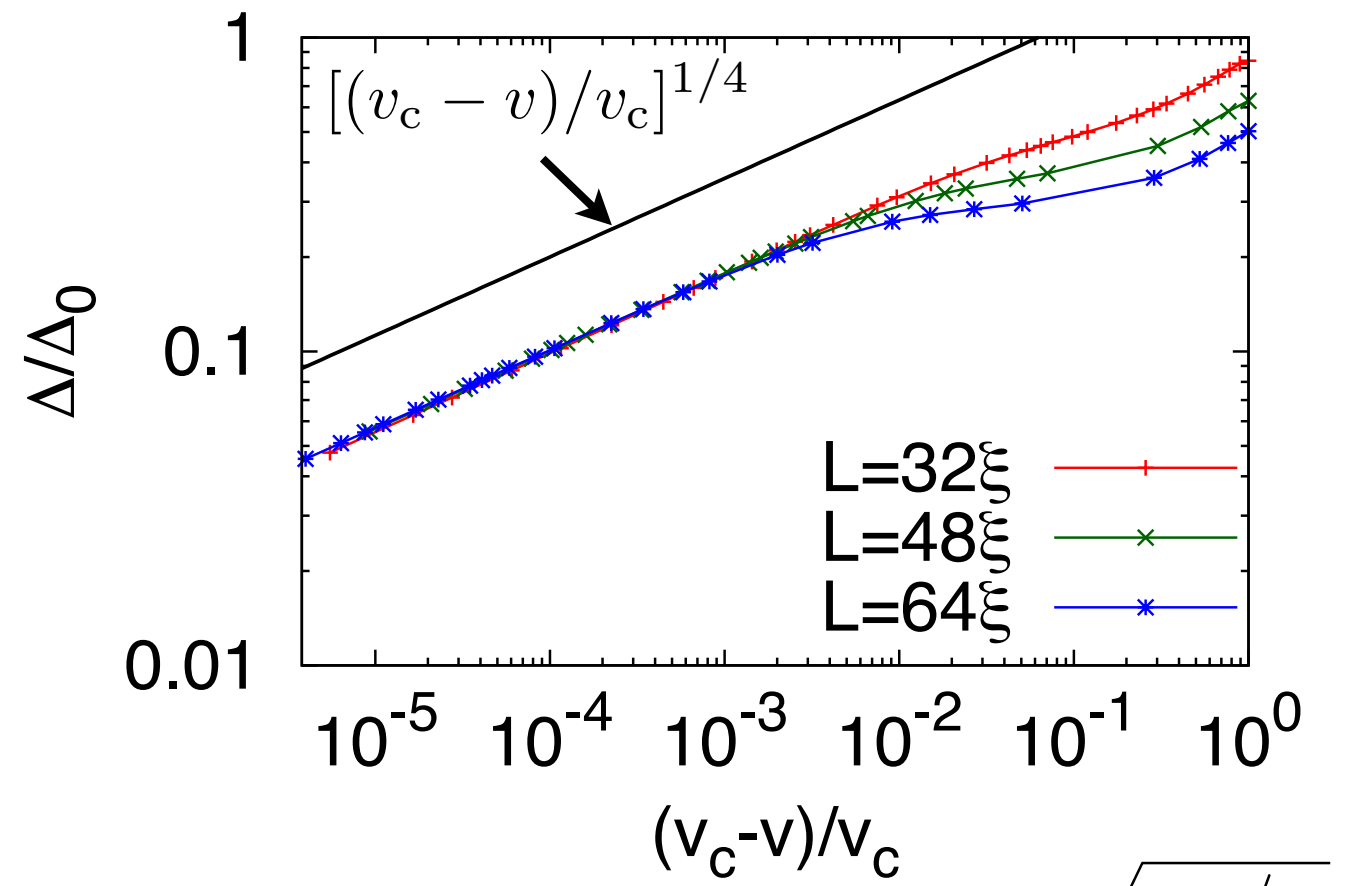
特徴的時間スケールの発散

Results : Excitation energy

$$L = 32\xi \quad d = 2.5\xi$$



$$U_0 = 10\epsilon_0 \quad d = 2.5\xi$$



$$v_s = \sqrt{gn_0/m}$$

音速

ポテンシャル無いときのスペクトル： $\epsilon_{\mathbf{k},\nu} = \hbar\mathbf{k} \cdot \mathbf{v} + \sqrt{\epsilon_{\mathbf{k}}^0(\epsilon_{\mathbf{k}}^0 + 2gn_0)}$

エネルギーギャップの
スケーリング則

$$\Delta = \Delta_0 |(v_c - v)/v_c|^{1/4}$$



特徴的時間スケールの発散

Results : Density fluctuations

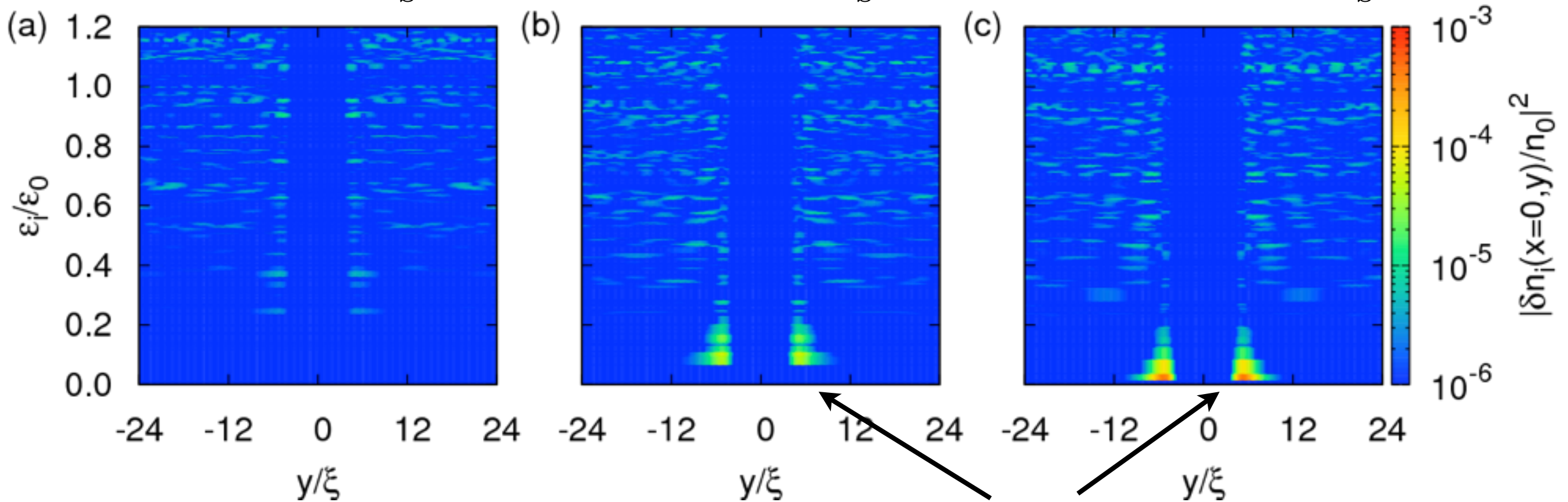
密度ゆらぎ

$$\delta n_i(\mathbf{r}) = \langle i | \hat{n}(\mathbf{r}) | g \rangle = \Psi^*(\mathbf{r}) u_i(\mathbf{r}) - \Psi(\mathbf{r}) v_i(\mathbf{r})$$

$$v = 0.1v_s$$

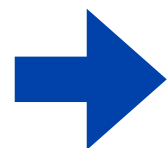
$$v = 0.42v_s$$

$$v = 0.43033v_s$$



$$L = 48\xi, U_0 = 10\epsilon_0, d = 2.5\xi$$

低エネルギーの動的密度ゆらぎの増大



量子渦生成の前駆現象

Summary

- 一定速度で動くポテンシャルがあるときにGross-Pitaevskii方程式とBogoliubov方程式を数値的に解いた。
- 臨界速度より小さいときにGhost vortex pairが出現するパラメータ領域が有る。
- エネルギーギャップのスケールリング則を発見した。
- 臨界速度に近づくとつれ局所的な密度ゆらぎの増大が起きる。量子渦生成の前駆現象と見なせる。

Reference : MK and Y. Kato, arXiv:1305.3995 (2013).